

II-6.3 波動による底質の運動限界について

防衛大学校 正員 真嶋恭雄 正員 池内正幸 ○正員 重村利幸

概要：本研究は室内実験を通じて波動によつて生ずる床部剪断力による底質の運動開始の状態を観察し、運動を起した底質量を定量的に求めんとしたものである。

序論：床部近傍では種々の形状及び表面状態を有する砂粒がしきつめられており、又波動の特性により、水はほど水平は往復振動運動を行ひうるので、完全に乱された運動をしていふと考へることが出来る。従つて、今、底質頂部に作用する剪断力を T_d とすれば、Prandtl の理論から、 T_d は次式の如く表わされる。

$$T_d = \rho_0 l^2 \left(\frac{du}{dx} \right)_{z=0}^2$$

$$\text{これから } T_d = \rho_0 \frac{k^2}{(\log_e \frac{z+z_0}{z_0})^2}, \quad U_{z=0}^2 = \rho_0 k^2 U_{z=d}^2 - \cdots$$

が得られる。ここで k は常数で佐藤・岸によれば 0.00253 である。

波動 κ より底質 κ 作用する流速 U_d には、波による水分子速度と質量輸送速度が考えられる。従つて、底質頂部に作用する流速を U_d 、分子速度を U_d' 、質量輸送を U_d'' とすれば

$$U_d = U_d' + U_d''$$

対象とする波が浅水表面波の場合は

$$U_d = \frac{\pi H}{T} \frac{\cosh kd}{\sinh kh} \sin(kx - \omega t),$$

$$U_d' = \frac{ck^2 H^2}{8} \frac{\cosh 2kd}{\sinh^2 kh} \quad \text{である。}$$

底質 κ 最大流速が作用したとき運動を開始する κ 考えれば

$$U_d = \frac{\pi H}{T} \frac{\cosh kd}{\sinh kh} + \frac{ck^2 H^2}{8} \frac{\cosh 2kd}{\sinh^2 kh}$$

この κ がそのまゝ (1) 式の κ として底質に作用するとして假定すれば、底質頂部に作用する剪断力 T_d は、

$$T_d = \rho_0 \left[\frac{\pi H}{T} \frac{\cosh kd}{\sinh kh} + \frac{ck^2 H^2}{8} \frac{\cosh 2kd}{\sinh^2 kh} \right]^2 \quad \text{--- (2)}$$

となる。

一方、底質粒子の床板上での最大静止摩擦角を φ とし、砂粒子を直径 d の球と考へれば、底質砂の限界静止摩擦力 R は (3) 式の様に表わされる。

$$R = \frac{\pi}{6} (\rho_s - \rho_w) g d^3 \tan \varphi \quad \text{--- (3)}$$

実験装置及び方法：水路は長さ 21.6 m、巾 0.6 m、高さ 0.8 m の内面ガラス張りである。造波機は Ballistic Pendulum 型造波機を用い、水路後端より 2.68 m の所にモーターにより駆動した。水路両端には消波部を設け、又、造波機前方 1 m の所には 3 ヶの金網フィルターを設置した。水路後端より 6.45 m の所には、巾 0.2 m、長さ 1.3 m を床板とし、その両側に高さ 0.02 m の側壁を有するアクリル樹脂製槽を置き、槽中央部に孔を開けたり、縦を 10 等分、横を 5 等分し、計 50 の区画を描いた。波浪測定は電気抵抗式波高計をストレインメーターカードバンオシログラフに自記させて行った。

底質砂は相模川中清産の川砂を用い、これを粒径により 5 種類に分けて使用した。底質砂は上記槽全長にわたり、一層にしきつめ、実験水深は 0.2 m, 0.25 m, 0.3 m, 0.35 m とし、周期は 0.1 sec 每変えてから実験した。観測は、底質砂のしきつめの方の干渉を除くため、先づ 60 波

通過させた後行はわれ、随中央部の上記区画中底質砂が1ヶ以上運動していける箇所数を、同時にその時の波を記録した。又各種径の底質砂の最大静止摩擦角は、静水中、床板の角度を用いて測定された。

表1及び図1は本実験に使用された底質砂及び生成波の特性値を示す。

実験結果及び考察：図2 $P_w U_d^2 / (\beta_p - \rho_w) gd \tan \phi$ 及び其の横軸にとり、観測全区画数に対する運動発生区画数の比率を縦軸にとてプロットしたものが図3である。

この図は、波動によつて生ずる底質砂頂部に作用する、運動力の大きさと、底質砂の運動発生率、底面の不完全性から推測出来る。しかし両者の関係は、底質砂の粒径、表面状態、作用する流速、及びこれらに依存する乱れ具合等、多くの不確定要素が入り組んでゐる。そこで著者は波動による底質砂の運動発生相対度数を用ひるものと考へた。

$$P = \frac{\text{運動発生区画数}}{\text{全観測区画数}} \times \frac{(\text{粒径})^2}{\text{1区画面積}}$$

ここで P × Reynolds number R_e の
関係は、(1)式のものである。両者の間には

$$P = 1.579 \log R_e - 7.686$$

の関係式がある。

以上、理・力学教室の今井国次技手、
河野義典助教授の指導に大感謝する。

粒 径(mm)	比 重	最大静止摩擦角
0.59-1.19	2.69	0.39
1.19-1.68	2.69	0.35
1.68-2.00	2.68	0.36
2.00-2.38	2.68	0.36
2.38-4.76	2.68	0.36

表1 底質砂 特性値

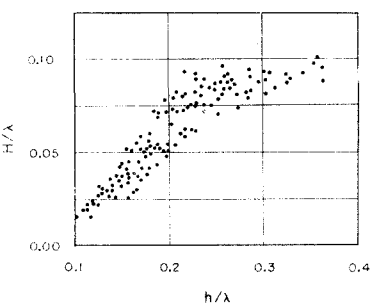
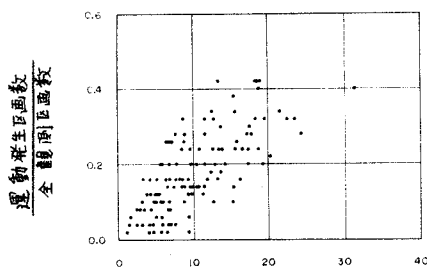


図2 生成波特性値



$$\frac{\text{運動発生区画数}}{\text{全観測区画数}} = \frac{U_d^2}{(\beta \rho - \rho_0) gd \tan \phi}$$

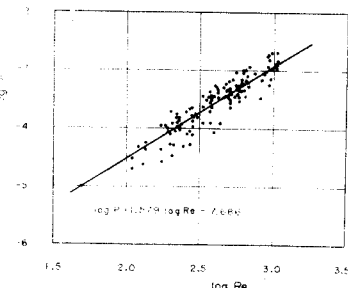


図4 $P - Re$